

Práctica de Laboratorio 5: Ubicación Arbitraria de Polos.

Elías Álvarez

Carrera de Ing. Electrónica

Universidad Católica Nuestra Señora de la Asunción

Asunción, Paraguay

Email: elias.alvarez@universidadcatolica.edu.py

Docente: Lic. Montserrat González

Facultad de Ingeniería

Universidad Católica Nuestra Señora de la Asunción

Asunción, Paraguay

Tania Romero

Carrera de Ing. Electrónica

Universidad Católica Nuestra Señora de la Asunción

Asunción, Paraguay

Email: tania.romero@universidadcatolica.edu.py

Docente: PhD. Enrique Vargas

Facultad de Ingeniería

Universidad Católica Nuestra Señora de la Asunción

Asunción, Paraguay

I. INTRODUCCIÓN

En esta práctica se aborda el diseño de controladores mediante la técnica de **ubicación arbitraria de polos**, un método fundamental en el análisis y síntesis de sistemas de control en el espacio de estados. El propósito principal es modificar la dinámica de una planta determinada para que el sistema en lazo cerrado cumpla con *especificaciones deseadas de respuesta transitoria*, tales como el tiempo de establecimiento y el coeficiente de amortiguamiento.

A través del cálculo de las matrices del sistema, su discretización e implementación en un **controlador digital basado en el PSOC**, se busca comprender cómo la realimentación de estados permite alterar el comportamiento dinámico y mejorar el desempeño del sistema.

Finalmente, se comparan los resultados obtenidos mediante simulación en MATLAB con los resultados experimentales, analizando la efectividad del diseño y las posibles diferencias entre el modelo teórico y la práctica.

OBJETIVOS

- Diseñar un controlador que modifique la dinámica de la planta para satisfacer condiciones específicas de la respuesta transitoria del sistema de control en lazo cerrado.
- Asegurar que el sistema regulado sea estable.
- Observar y analizar los efectos del controlador en el comportamiento dinámico del sistema.
- Considerar distintos métodos para el ajuste de los parámetros del controlador y analizar los resultados obtenidos.
- Diseñar el sistema de control en MATLAB e implementar la ecuación en diferencia correspondiente en el PSOC.

II. DESARROLLO

II-A. Modelado del Sistema

II-A1. Obtención de las matrices del sistema F, G, H y J:

Para el modelado del sistema se parte del circuito mostrado en la Figura 1, a partir del cual se determinan las ecuaciones

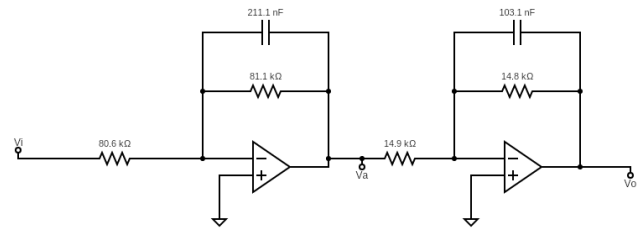


Figura 1. Circuito de la planta.

de estado mediante el análisis de los lazos de realimentación y las relaciones de tensión en los componentes.

El sistema se describe mediante las siguientes ecuaciones en espacio de estados:

$$\dot{x}(t) = F x(t) + G V_i(t) \quad (1)$$

$$y(t) = H x(t) + J V_i(t) \quad (2)$$

Para obtener las expresiones de las variables de estado, se parte del equivalente del paralelo entre un resistor y un capacitor:

$$R \parallel \frac{1}{sC} = \frac{R}{1 + sRC}$$

Considerando que ambos amplificadores operacionales se encuentran en configuración no inversora, se obtienen las siguientes relaciones:

$$V_a = \frac{-R_2}{1 + sR_2C_1} \frac{V_i}{R_1} \Rightarrow sV_a = -\frac{1}{R_1C_1} V_i - \frac{1}{R_2C_1} V_a$$

$$V_o = -\frac{R_4}{1 + sR_4C_2} \frac{V_a}{R_3} \Rightarrow sV_o = -\frac{1}{R_3C_2} V_a - \frac{1}{R_4C_2} V_o$$

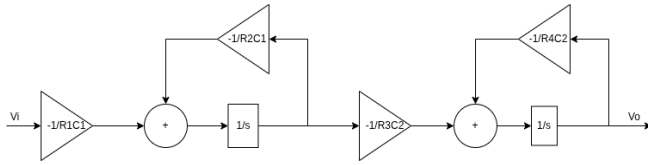


Figura 2. Diagrama de bloques del sistema continuo.

Definiendo como variables de estado $x_1(t) = V_a$ y $x_2(t) = V_o$, las ecuaciones anteriores se expresan en forma matricial como:

$$\begin{bmatrix} \dot{x}_1(t) \\ \dot{x}_2(t) \end{bmatrix} = \begin{bmatrix} -\frac{1}{R_2C_1} & 0 \\ -\frac{1}{R_3C_2} & -\frac{1}{R_4C_2} \end{bmatrix} \begin{bmatrix} x_1(t) \\ x_2(t) \end{bmatrix} + \begin{bmatrix} -\frac{1}{R_1C_1} \\ 0 \end{bmatrix} V_i(t)$$

y la ecuación de salida queda definida como:

$$y(t) = [0 \quad 1] \begin{bmatrix} x_1(t) \\ x_2(t) \end{bmatrix} + 0 \cdot V_i(t)$$

Sustituyendo los valores de los componentes $C_1 = 211.1 \times 10^{-9}$ F, $R_1 = 80.55 \times 10^3$ Ω, $R_2 = 81.09 \times 10^3$ Ω, $C_2 = 103.07 \times 10^{-9}$ F, $R_3 = 14.878 \times 10^3$ Ω y $R_4 = 14.76 \times 10^3$ Ω, se obtienen las siguientes matrices numéricas:

$$F = \begin{bmatrix} -58.42 & 0 \\ -652.11 & -657.37 \end{bmatrix}, \quad G = \begin{bmatrix} -58.81 \\ 0 \end{bmatrix}, \quad H = [0 \quad 1]$$

$$y \quad J = 0 \quad (3)$$

II-A2. Mostrar el diagrama de bloques del sistema:

II-B. Discretización del Sistema

II-B1. Elección del tiempo de muestreo $T_s = 1$ ms:

Para la discretización del sistema continuo descrito por las ecuaciones (1) y (2), se busca obtener un modelo equivalente en tiempo discreto que relacione las variables de estado y la señal de entrada en instantes de muestreo definidos. Las ecuaciones del sistema discreto se expresan como:

$$X(k+1) = A X(k) + B u(k) \quad (4)$$

$$Y(k) = C X(k) + D u(k) \quad (5)$$

Usando las matrices continuas F , G , H y J obtenidas previamente, las matrices discretas se determinan mediante las siguientes expresiones:

$$A = e^{FT_s}, \quad B = F^{-1}(e^{FT_s} - I)G, \quad C = H$$

$$\& \quad D = J$$

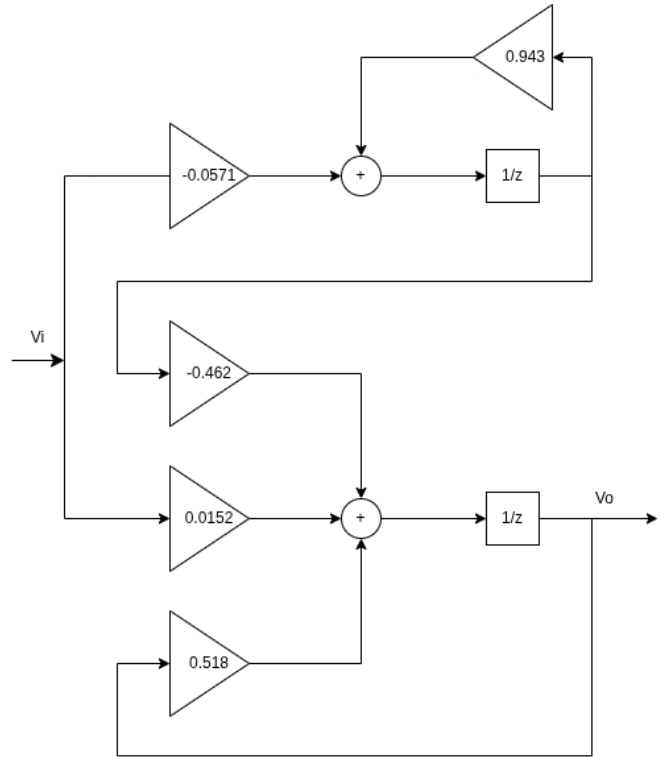


Figura 3. Diagrama de bloques del sistema discretizado.

II-B2. Obtención de las matrices discretas A , B , C y D : Con un tiempo de muestreo $T_s = 1$ ms, se obtienen las siguientes matrices discretizadas:

$$A = \begin{bmatrix} 0.943 & 0 \\ -0.462 & 0.518 \end{bmatrix}, \quad B = \begin{bmatrix} -0.0571 \\ 0.0152 \end{bmatrix}, \quad C = [0 \quad 1], \quad \& \quad D = 0 \quad (6)$$

Estas matrices representan el modelo digital equivalente del sistema continuo, y serán utilizadas posteriormente para el diseño del controlador e implementación en el PSoC.

II-B3. Diagrama de bloques del sistema discretizado: En la Figura 3 se presenta el diagrama de bloques correspondiente al sistema discretizado, donde se observa la relación entre las variables de estado, la entrada $u(k)$ y la salida $Y(k)$.

II-B4. Verificación de la controlabilidad y observabilidad del sistema: La matriz de controlabilidad se obtiene a partir de la siguiente relación general:

$$x(n) - A^n x(0) = \sum_{i=0}^{n-1} A^{n-i-1} B u(i)$$

lo que lleva a la siguiente forma matricial:

$$x(n) - A^n x(0) = [A^{n-1}B \quad A^{n-2}B \quad \cdots \quad AB \quad B] \begin{bmatrix} u(0) \\ u(1) \\ \vdots \\ u(n-1) \end{bmatrix}$$

De esta expresión, se define la matriz de controlabilidad como:

$$\mathcal{C} = [B \ AB]$$

Para el sistema analizado, la matriz resultante es:

$$\mathcal{C} = \begin{bmatrix} -0.05344 & -0.05713 \\ 0.03435 & 0.01527 \end{bmatrix}$$

El rango de esta matriz es $n = 2$, lo que indica que el sistema es completamente controlable.

La matriz de observabilidad se obtiene a partir de la expresión general:

$$Y(n-1) = \begin{bmatrix} C \\ CA \\ \vdots \\ CA^{n-1} \end{bmatrix} X(0)$$

Por lo tanto, la matriz de observabilidad queda definida como:

$$\mathcal{O} = \begin{bmatrix} C \\ CA \end{bmatrix}$$

Sustituyendo los valores del sistema:

$$\mathcal{O} = \begin{bmatrix} 0 & 1 \\ -0.462 & 0.518 \end{bmatrix}$$

El rango de la matriz de observabilidad también resulta ser $n = 2$.

Por lo tanto, se concluye que el sistema es **completamente controlable y observable**, cumpliendo con las condiciones necesarias para el diseño de control mediante realimentación de estados.

II-B5. Comparar los resultados obtenidos con las simulaciones realizadas en MATLAB: Resultados de las matrices continuas:

$$F = \begin{bmatrix} -58.42 & 0 \\ -652.10 & -657.30 \end{bmatrix}, \quad G = \begin{bmatrix} -58.81 \\ 0 \end{bmatrix}, \quad H = [0 \ 1]$$

$$\& \quad J = [0]$$

Resultados de las matrices discretas:

$$A = \begin{bmatrix} 0.9433 & 0 \\ -0.4628 & 0.5182 \end{bmatrix}, \quad B = \begin{bmatrix} -0.05712 \\ 0.01527 \end{bmatrix}, \quad C = [0 \ 1]$$

$$\& \quad D = [0]$$

Se observa que los resultados de las matrices obtenidas son congruentes con los valores calculados en las ecuaciones (3) y (6), verificando la coherencia entre el modelo teórico y los resultados obtenidos mediante MATLAB.

En las figuras 4 y 5, del MATLAB se pueden observar que no es implementable.

III. IMPLEMENTACIÓN DEL SISTEMA

Durante la etapa de implementación no se intentó replicar directamente los controladores diseñados en *Matlab* con las especificaciones originales, ya que se determinó que dichos parámetros no eran implementables con el hardware disponible. Los valores de ganancia requeridos generaban esfuerzos imposibles de aplicar sin saturar el DAC, por lo que incluso antes de probar en el PSoC se optó por **relajar las especificaciones** y diseñar controladores implementables que preservaran el comportamiento cualitativo del sistema. En otras palabras, se mantuvo el mismo enfoque de control por realimentación de estados, pero con polos menos agresivos y ganancias adaptadas al rango físico del actuador. Aun así, los controladores “relajados” solamente pudieron trabajar con referencias muy pequeñas (0,4 V para el Caso 1 y 0,3 V para el Caso 2); valores mayores producían saturación inmediata y lo único observable en el osciloscopio era ruido amplificado. El sistema digital completo se muestra en la Figura 6. Allí se incluyen los convertidores ADC SAR, el circuito de sincronización con dos flip-flops tipo D para detectar el fin de conversión de ambos canales, y un módulo UART utilizado para enviar comandos al PSoC. A través de este canal se podían modificar en tiempo real la frecuencia del temporizador, abrir o cerrar el lazo, y cambiar la amplitud de referencia, lo cual facilitó enormemente las pruebas experimentales.

La planta analógica se muestra en la Figura 10. Junto a ella se encuentra el DAC principal, que actúa como actuador aplicando los esfuerzos de control calculados. Además, se incorporó un segundo DAC destinado a generar la referencia en voltios; si bien esta referencia se define digitalmente, resultó útil disponer de su equivalente analógico para visualizarla en el osciloscopio durante las pruebas.

La referencia digital se generó mediante un temporizador configurable y un registro tipo T, implementado mediante uno de tipo D, definiendo el valor de referencia como $\text{refA}/2$ cuando el bit lógico leído era 1 y $-\text{refA}/2$ cuando era 0. De esta forma se obtuvo una señal cuadrada de amplitud controlada, útil para evaluar las respuestas transitorias del sistema.

Es importante destacar que todos los cálculos del controlador se realizaron desacoplando la componente de DC, ya que al no hacerlo se amplifica la componente continua en la etapa de salida y se produce saturación mucho más rápida.

En el firmware, para facilitar el traslado del diseño desde *Matlab* a lenguaje C, se implementó la librería *mat.c*. En ella se definieron los tipos de datos y funciones necesarios para realizar las operaciones matriciales requeridas en el cálculo del esfuerzo de control, utilizando únicamente las ganancias K y N_{var} .

Una vez calculado el esfuerzo de control (en valor alterno), se le sumó $V_{DD}/2$ para montarlo sobre el nivel medio del DAC y mantener compatibilidad con el circuito analógico. De esta manera se logró que las mediciones en el osciloscopio fuesen consistentes con las simulaciones en *Matlab*.

Las frecuencias de muestreo efectivas fueron de aproximadamente 418,5 Hz para el Caso 1 y 313,9 Hz para el

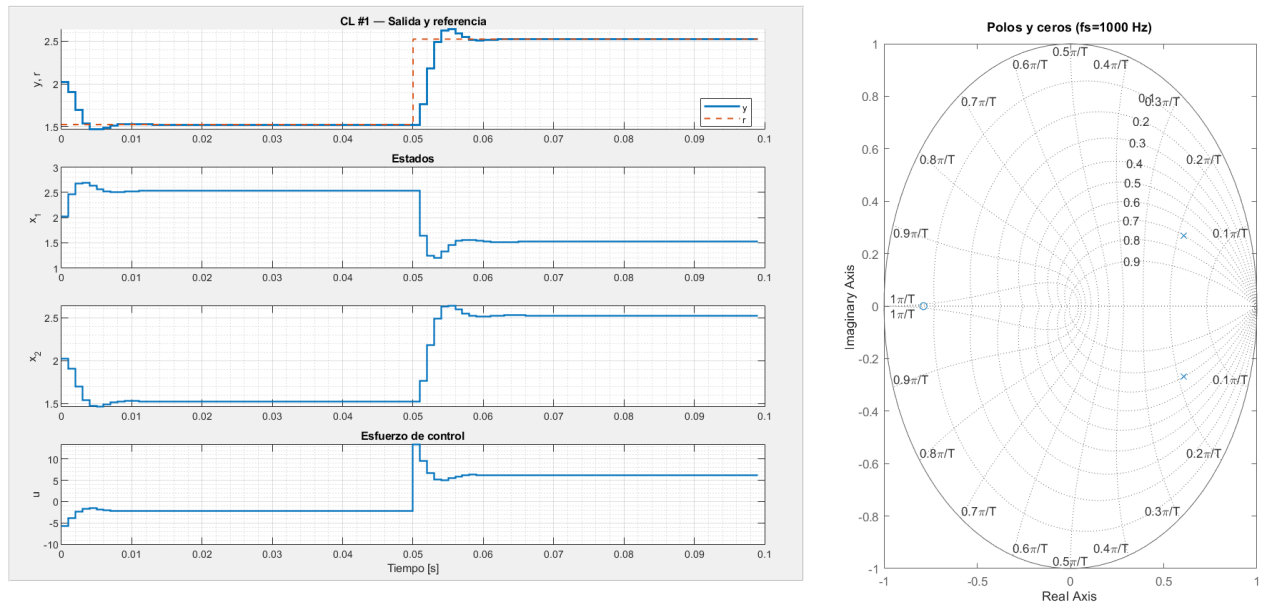


Figura 4. Respuesta simulada en MATLAB correspondiente al Caso 2($f_s = 1000\text{Hz}$).

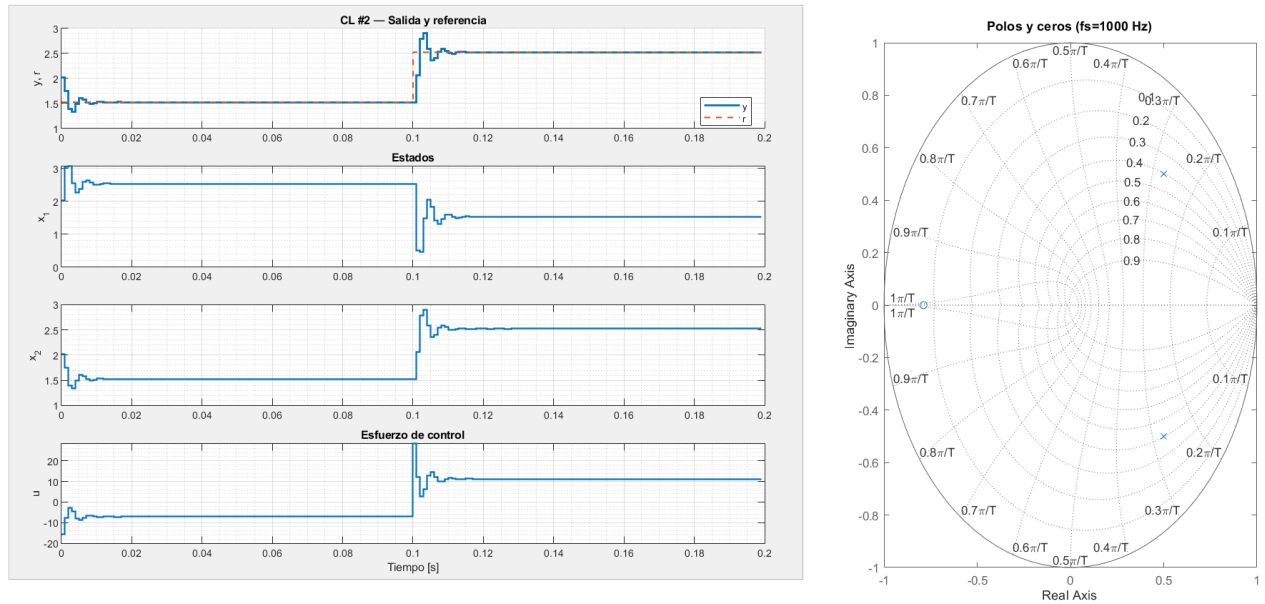


Figura 5. Respuesta simulada en MATLAB correspondiente al Caso 2($f_s = 1000\text{Hz}$).

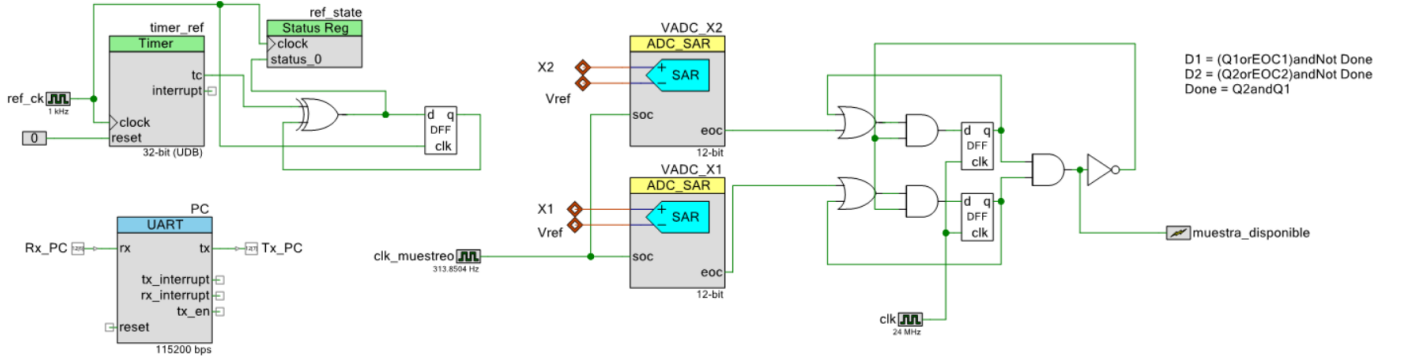


Figura 6. Circuito digital implementado en el PSoC, con los módulos SAR, flip-flops de sincronización y UART para control.

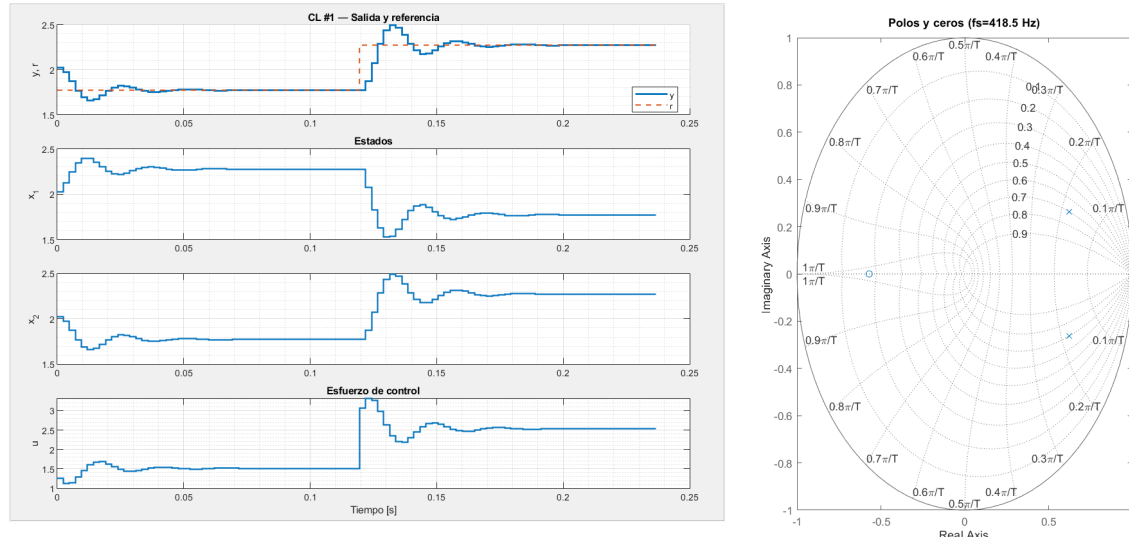


Figura 7. Respuesta simulada correspondiente al Caso 1 ($f_s \approx 418.5$ Hz).

Caso 2. Las Figuras 12 y 13 muestran las respuestas observadas experimentalmente.

Aunque las señales obtenidas presentan cierto nivel de ruido —algo esperable dada su baja amplitud—, se lograron implementar controladores funcionales y estables dentro de las limitaciones del hardware disponible. Las respuestas observadas mantienen la forma y tendencia previstas en las simulaciones, aunque restringidas a un rango reducido de amplitudes.

IV. RESULTADOS

IV-A. Comparación simulación vs. experimento

La comparación entre la simulación y las mediciones experimentales se presenta en las Figuras 14 y 15. En ambos casos se grafican, para las señales x_1 , $x_2 (= y)$ y u , la traza experimental frente a la simulada y , en paneles adyacentes, el error correspondiente. Las figuras fueron generadas directamente desde el script de Matlab que remuestrea (por ZOH) las señales simuladas a la grilla temporal del osciloscopio, asegurando una comparación punto a punto usando la misma referencia. De esta forma se garantiza que los resultados reflejen únicamente las diferencias reales entre el modelo teórico y la implementación física.

IV-B. Métricas cuantitativas

A continuación se resumen las métricas principales para cada señal: **RMSE absoluto**, **RMSE porcentual**, **error máximo absoluto** y **error máximo porcentual**. La Tabla I corresponde

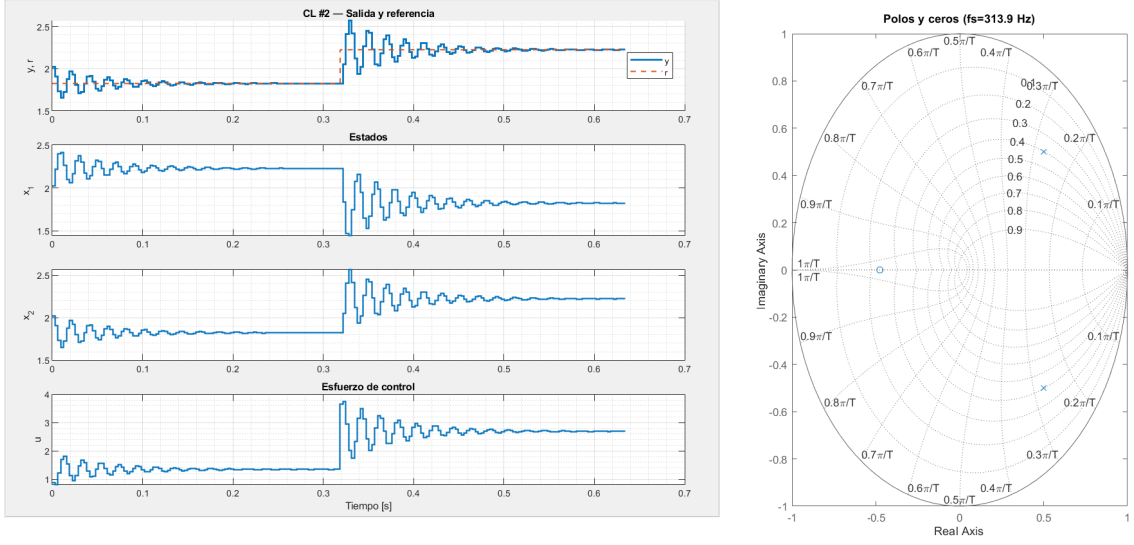


Figura 8. Respuesta simulada correspondiente al Caso 2 ($f_s \approx 313,9$ Hz).

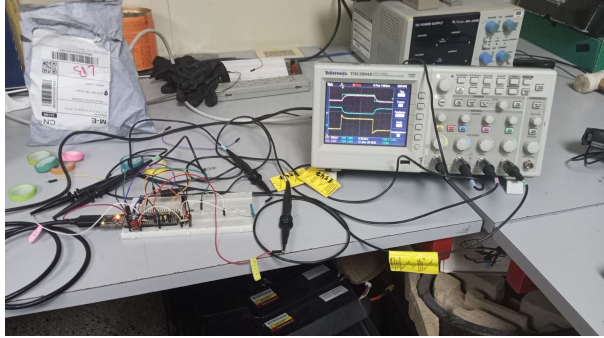


Figura 9. Fotografía de la práctica.

al Caso 1 (Exp1) y la Tabla II queda preparada para el Caso 2 (Exp2).

Cuadro I
MÉTRICAS DE COMPARACIÓN — CASO 1 (EXP1).

Señal	RMSE_abs	RMSE_%	ErrMax_abs	ErrMax_%
X1	0,055	15,542	0,259	73,451
X2	0,057	15,466	0,308	83,691
U	0,298	28,241	1,369	129,720

Cuadro II
MÉTRICAS DE COMPARACIÓN — CASO 2 (EXP2).

Señal	RMSE_abs	RMSE_%	ErrMax_abs	ErrMax_%
X1	0,097	23,315	0,400	96,301
X2	0,085	20,500	0,333	80,455
U	0,564	38,199	1,938	131,318

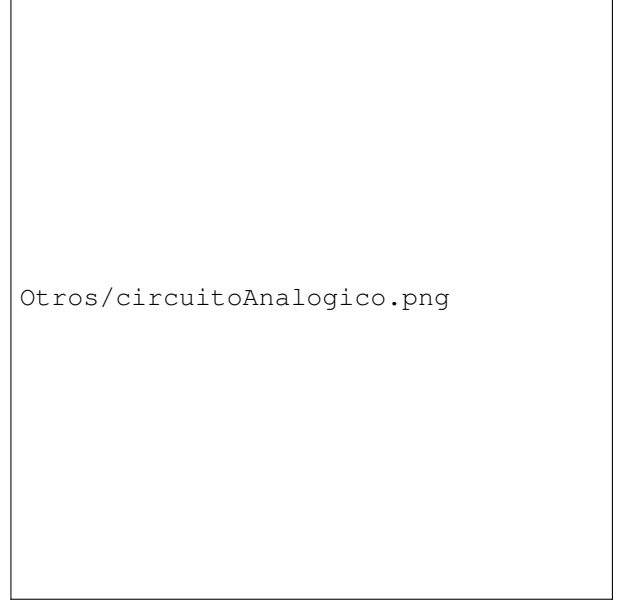


Figura 10. Circuito analógico correspondiente a la planta física utilizada en el experimento.

IV-C. Discusión y conclusiones

Se observa que la respuesta de la planta sigue la forma esperada: el *rising time* es muy similar al de la simulación y la señal permanece dentro de los valores previstos. El error medio se concentra alrededor de cero salvo en las zonas próximas a la saturación del actuador, donde aumentan las discrepancias, atribuibles a no linealidades de la planta y a las limitaciones del DAC. Además, el esfuerzo medido se aprecia como una versión *achatada* del esfuerzo simulado, consistente con la compresión que introduce la saturación y el rango dinámico

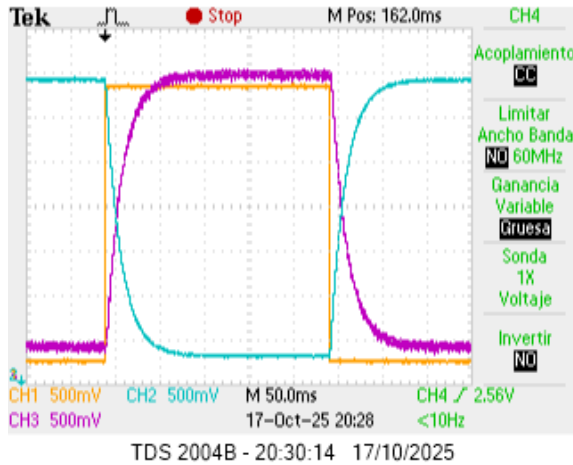


Figura 11. Respuesta experimental del sistema en lazo abierto.

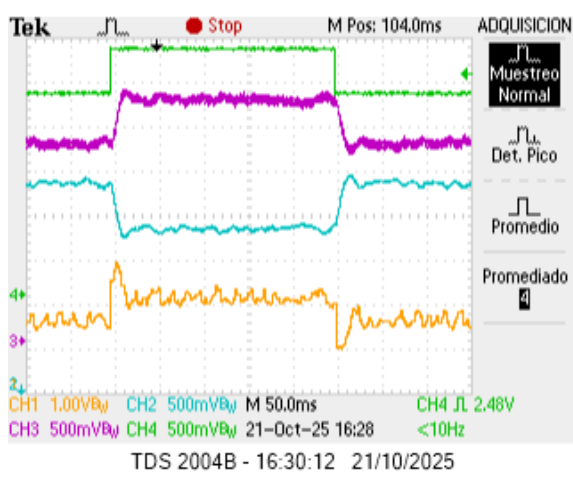


Figura 12. Respuesta experimental correspondiente al Caso 1 ($f_s \approx 418,5$ Hz).

reducido del hardware.

Es importante notar que las simulaciones no consideran efectos de muestreo imperfecto, ruido en las mediciones ni perturbaciones eléctricas presentes en la práctica. Dado que las señales medidas tienen amplitudes muy pequeñas, incluso un nivel bajo de ruido produce diferencias visibles, lo cual explica parte de las discrepancias observadas entre el modelo y el comportamiento real. En conjunto, los resultados confirman que los controladores *implementables* reproducen la dinámica cualitativa diseñada, con un nivel de error razonable para el contexto experimental y dentro de los márgenes esperados para este tipo de implementación física.

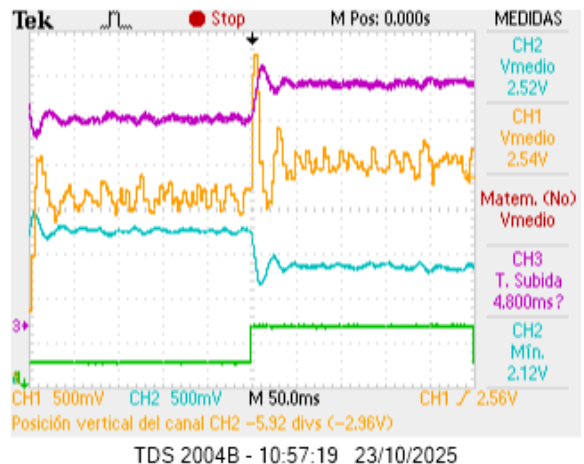


Figura 13. Respuesta experimental correspondiente al Caso 2 ($f_s \approx 313,9$ Hz).

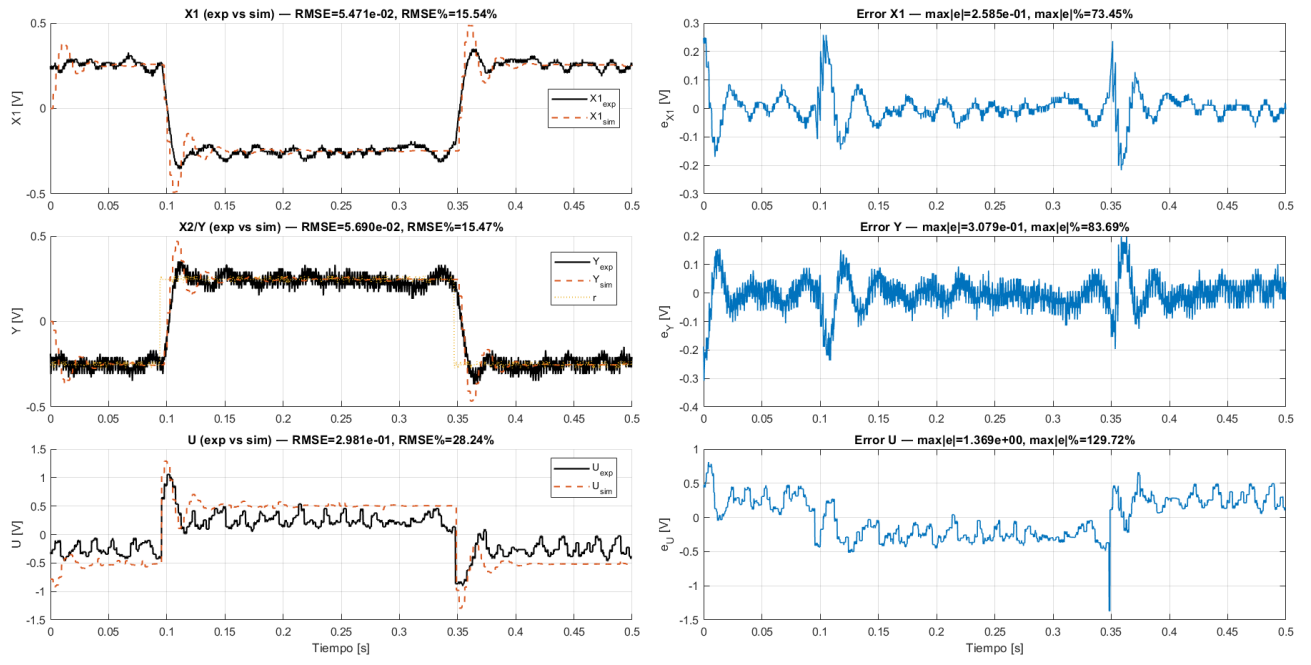


Figura 14. Comparación simulación vs. experimento — Caso 1. Métricas detalladas (RMSE y errores máximos) indicadas en cada panel.

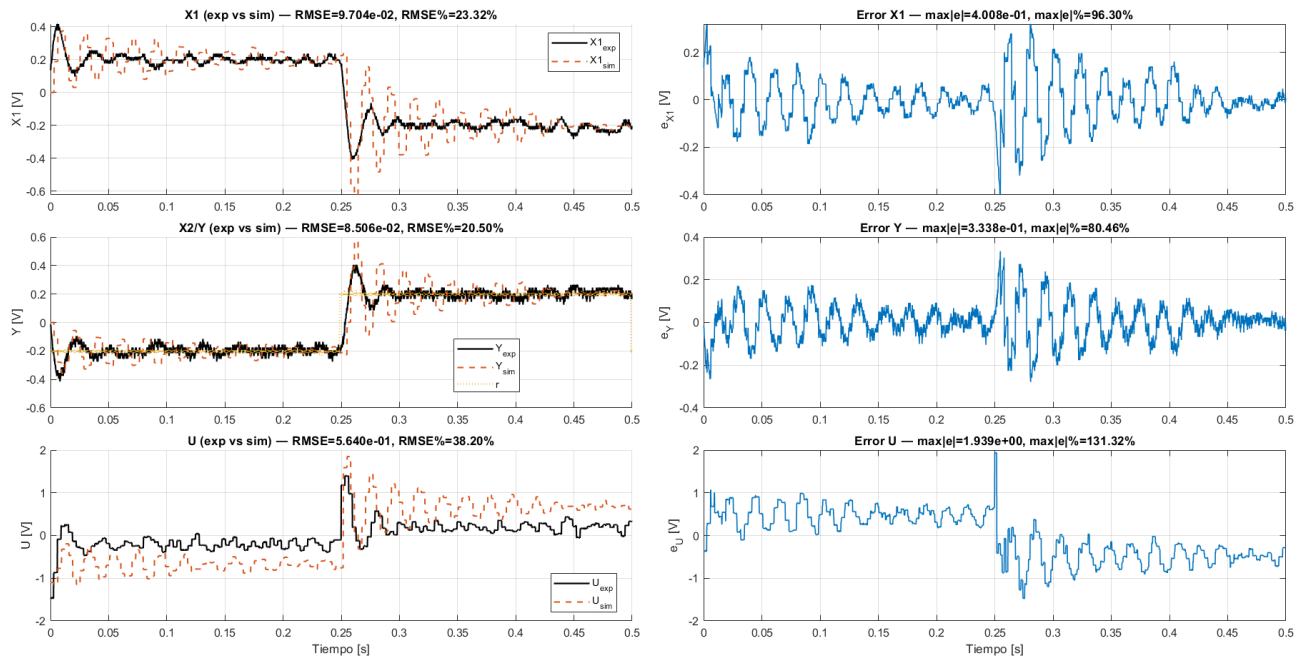


Figura 15. Comparación simulación vs. experimento — Caso 2. Métricas detalladas (RMSE y errores máximos) indicadas en cada panel.

APÉNDICE

A. Código en C

```
1 #include "project.h"
2 #include <stdio.h>
3 #include <string.h>
4 #include <stdlib.h>
5 #include <ctype.h>
6 #include "mat.h"           // <-- tu librería de matrices
7
8 /* ===== Prototipos ===== */
9 CY_ISR_PROTO(adquirirMuestra);
10 static void pc_process_rx(void);
11 static void handle_command(const char *line);
12 static void set_ref_value(float *target, float val, const char *name);
13 static void set_ref_period(uint16_t period);
14 static void ref_status(void);
15
16 /* ===== Config general / límites ===== */
17 #define SAT_MIN          (0.0f)
18 #define SAT_MAX          (4.048f)
19 #define MIDDLE_VOLTAGE   ((SAT_MAX - SAT_MIN)/2.0f)
20 #define VDDA2            (2.5f)
21 #define RX_BUF_SZ        64
22 #define A 0.4f
23 /* ===== Estado global ===== */
24 volatile char flag      = '0';
25 volatile double ref_max = (float)(A/2);//(MIDDLE_VOLTAGE + 0.1f);
26 volatile double ref_min = (float)(-1*A/2);//(MIDDLE_VOLTAGE - 0.1f);
27 volatile double ref     = 0.0f;
28 volatile Mat X;
29 volatile double e       = 0.0f;
30
31 /* Modo de operación: 0 = closed loop (PID), 1 = open loop (DAC = ref) */
32 enum { MODE_CLOSED = 0, MODE_OPEN = 1 };
33 volatile uint8 mode = MODE_CLOSED;
34
35 /* ===== UART RX line buffer ===== */
36 static char rx_buf[RX_BUF_SZ];
37 static uint8 rx_len = 0;
38
39 /* ===== Helpers sin libm ===== */
40 static long my_lroundf(float x) { return (x >= 0.0f) ? (long)(x + 0.5f) : (long)(x - 0.5f); }
41
42 /* Mapear voltaje a 0..255 con clamps a [SAT_MIN, SAT_MAX] */
43 static inline uint8 volt_to_dac(float v)
44 {
45     if (v < SAT_MIN) v = SAT_MIN;
46     if (v > SAT_MAX) v = SAT_MAX;
47     float norm = v / SAT_MAX;           /* 0..1 */
48     if (norm < 0.0f) norm = 0.0f;
49     if (norm > 1.0f) norm = 1.0f;
50     return (uint8)(norm * 255.0f);
51 }
52
53 /* ===== ISR de muestra ===== */
54 CY_ISR(adquirirMuestra)
55 {
56     /* Lestionar fuente de interrupción de "muestra disponible" */
57     muestra_disponible_ClearPending();
58
59     /* Comutar referencia según pin/switch (1 -> max, 0 -> min) */
60     ref = (ref_state_Read()) ? ref_max : ref_min;
61
62     VDAC8_ref_SetValue(volt_to_dac(ref+VDDA2));
63 }
```

```

64  /* Leer ADC y calcular error */
65  float x1 = VADC_X1_CountsTo_Volts(VADC_X1_GetResult16());
66  float x2 = VADC_X2_CountsTo_Volts(VADC_X2_GetResult16());
67  X.d[0][0] = x1;
68  X.d[1][0] = x2;
69  //e = ref - muestra;
70
71 flag = '1';
72
73 /* Según tu diseño, deshabilitás y re-habilitás en el main */
74 muestra_disponible_Disable();
75 }
76
77
78 /* Hook del esfuerzo: respeta el modo (open/closed) */
79 static inline void actualizarEsfuerzo(void)
80 {
81     const Mat K = {.filas = 1, .columnas = 2,
82                     .d = {{4.0979, 6.4912}}};//.d = {{2.6952, 6.5662}};//
83     Mat X_copy = {.filas = 2, .columnas = 1,
84                     .d = {{0.0},
85                           {0.0}}};
86     Mat U_unsat = {.filas = 1, .columnas = 1,
87                     .d = {{0.0}}};
88
89     Mat K0 = {.filas = 1, .columnas = 1,
90                     .d = {{3.3618}}};//.d = {{4.8505}};//
91     Mat R = {.filas = 1, .columnas = 1,
92                     .d = {{0.0}}};
93     Mat KX= {.filas = 1, .columnas = 1,
94                     .d = {{0.0}}};
95     Mat K0R = {.filas = 1, .columnas = 1,
96                     .d = {{0.0}}};
97     R.d[0][0] = ref; //Calculamos todo en AC
98     if (mode == MODE_OPEN) {
99         /* === LAZO ABIERTO: el DAC sigue la referencia (ref_min / ref_max) === */
100        VDAC8_SetValue(volt_to_dac(ref));
101        return;
102    }
103
104
105    mat_copy_volatile(&X_copy,&X);
106    mat_mul(&K,&X_copy,&KX);
107    mat_mul(&K0,&R,&K0R);
108    mat_sut(&K0R,&KX,&U_unsat);
109    U_unsat.d[0][0]+=VDDA2;
110    float u_sat;
111    if (U_unsat.d[0][0] > SAT_MAX)      u_sat = SAT_MAX;
112    else if (U_unsat.d[0][0] < SAT_MIN) u_sat = SAT_MIN;
113    else                                u_sat = U_unsat.d[0][0];
114    VDAC8_SetValue(volt_to_dac(u_sat));
115    /* === LAZO CERRADO: controlador PID discreto === */
116    // static float u_1 = 0.0f, u_2 = 0.0f, u_3 = 0.0f;
117    // static float e_1 = 0.0f, e_2 = 0.0f, e_3 = 0.0f;
118    //
119    /* Salida no saturada */
120    float u_unsat = (float) (-U1*u_1 -U2*u_2 -U3*u_3+ E0*e + E1*e_1 + E2*e_2+E3*e_3)/U0;
121    //
122    /* Saturación correcta (sobre u_unsat) */
123    float u_sat;
124    if (u_unsat > SAT_MAX)      u_sat = SAT_MAX;
125    else if (u_unsat < SAT_MIN) u_sat = SAT_MIN;
126    else                        u_sat = u_unsat;
127    //
128    /* DAC: escribir esfuerzo saturado */
129    VDAC8_SetValue(volt_to_dac(u_sat));
130    //

```

```

131 //      /* Correr estados (orden correcto) */
132 //      u_3 = u_2; u_2 = u_1; u_1 = u_sat;
133 //      e_3 = e_2; e_2 = e_1; e_1 = e;
134 }
135
136 /* ===== Helpers de parsing ===== */
137
138 /* Recorta espacios a la derecha (CR/LF/espacios) */
139 static void rtrim(char *s)
140 {
141     size_t n = strlen(s);
142     while (n && (s[n-1]=='\r' || s[n-1]=='\n' || isspace((unsigned char)s[n-1])))
143         s[--n] = '\0';
144 }
145
146 static void to_lower_str(char *s)
147 {
148     for (; *s; ++s) *s = (char)tolower((unsigned char)*s);
149 }
150
151 /* Procesa bytes RX por líneas (echo por línea) */
152 static void pc_process_rx(void)
153 {
154     int ch;
155     while ((ch = PC_GetChar()) != 0) {
156         if (ch == '\n' || ch == '\r') {
157             if (rx_len > 0) {
158                 rx_buf[rx_len] = '\0';
159                 PC_PutString(rx_buf); PC_PutString("\r\n"); /* echo de línea */
160                 handle_command(rx_buf);
161                 rx_len = 0;
162             }
163         } else {
164             if (rx_len < (RX_BUF_SZ-1)) {
165                 rx_buf[rx_len++] = (char)ch;
166             } else {
167                 rx_len = 0;
168                 PC_PutString("ERR: line too long\r\n");
169             }
170         }
171     }
172 }
173
174 /* ===== Status command (sin floats en printf; usa mV) ===== */
175 static void ref_status(void)
176 {
177     long ref_min_mV = my_lroundf(ref_min * 1000.0f);
178     long ref_max_mV = my_lroundf(ref_max * 1000.0f);
179     long ref_mV      = my_lroundf(ref * 1000.0f);
180     unsigned per      = (unsigned)timer_ref_ReadPeriod();
181
182     char msg[160];
183     snprintf(msg, sizeof(msg),
184             "STATUS:\r\n"
185             " mode=%s\r\n"
186             " ref_min=%ld mV\r\n"
187             " ref_max=%ld mV\r\n"
188             " ref=%ld mV\r\n"
189             " ref_period=%u\r\n",
190             (mode == MODE_OPEN) ? "open" : "closed",
191             ref_min_mV, ref_max_mV, ref_mV, per);
192     PC_PutString(msg);
193 }
194
195 /* ===== Parser de comandos ===== */
196 static void handle_command(const char *line_in)
197 {

```

```

198 char line[RX_BUF_SZ];
199 strncpy(line, line_in, sizeof(line));
200 line[sizeof(line)-1] = '\0';
201 rstrip(line);
202 to_lower_str(line);
203
204 /* Comandos sin valor */
205 if (strcmp(line, "ref_status") == 0 || strcmp(line, "status") == 0) {
206     ref_status(); return;
207 }
208 if (strcmp(line, "help") == 0 || strcmp(line, "?") == 0) {
209     PC_PutString("Commands:\r\n"
210                 "    ref_max:<float 0..4.08>\r\n"
211                 "    ref_min:<float 0..4.08>\r\n"
212                 "    ref_period:<uint16 0..65535>\r\n"
213                 "    mode:<open|closed|1|0>\r\n"
214                 "    ref_status\r\n");
215     return;
216 }
217
218 /* Clave:valor */
219 char *colon = strchr(line, ':');
220 if (!colon) { PC_PutString("ERR: expected key:value or ref_status\r\n"); return; }
221 *colon = '\0';
222 const char *key = line;
223 const char *val_str = colon + 1;
224 while (*val_str && isspace((unsigned char)*val_str)) val_str++;
225
226 if (strcmp(key, "ref_max") == 0) {
227     float v = (float)atof(val_str);
228     set_ref_value((float*)&ref_max, v, "ref_max");
229 } else if (strcmp(key, "ref_min") == 0) {
230     float v = (float)atof(val_str);
231     set_ref_value((float*)&ref_min, v, "ref_min");
232 } else if (strcmp(key, "ref_period") == 0) {
233     long v = strtol(val_str, NULL, 0);
234     if (v < 0 || v > 65535) PC_PutString("ERR: ref_period out of range (0..65535)\r\n");
235     else set_ref_period((uint16_t)v);
236 } else if (strcmp(key, "mode") == 0) {
237     if (strcmp(val_str, "open") == 0 || strcmp(val_str, "1") == 0) {
238         mode = MODE_OPEN; PC_PutString("OK: mode=open\r\n");
239     } else if (strcmp(val_str, "closed") == 0 || strcmp(val_str, "0") == 0) {
240         mode = MODE_CLOSED; PC_PutString("OK: mode=closed\r\n");
241     } else {
242         PC_PutString("ERR: mode must be open|closed|1|0\r\n");
243     }
244 } else {
245     PC_PutString("ERR: unknown key. Use ref_max, ref_min, ref_period, mode, ref_status\r\n");
246 }
247 }
248
249 /* Set de ref_* con validación y sección crítica */
250 static void set_ref_value(float *target, float val, const char *name)
251 {
252     if (val < SAT_MIN || val > SAT_MAX) {
253         char msg[64];
254         long lo = my_lroundf(SAT_MIN*1000.0f), hi = my_lroundf(SAT_MAX*1000.0f);
255         snprintf(msg, sizeof(msg), "ERR: %s out of range (%ld..%ld mV)\r\n", name, lo, hi);
256         PC_PutString(msg);
257         return;
258     }
259
260     uint8 intr = CyEnterCriticalSection();
261     *target = val;
262     /* Si está activa esa referencia, actualizá ref inmediatamente */
263     ref = (ref_state_Read()) ? ref_max : ref_min;

```

```

264     CyExitCriticalSection(intr);
265
266     char msg[64];
267     long v_mV = my_lroundf(val*1000.0f);
268     sprintf(msg, sizeof(msg), "OK: %s=%ld mV\r\n", name, v_mV);
269     PC_PutString(msg);
270 }
271
272 /* Cambia el periodo del timer de referencia de forma segura */
273 static void set_ref_period(uint16_t period)
274 {
275     timer_ref_Stop();
276     timer_ref_WritePeriod(period);
277     timer_ref_WriteCounter(period);
278     timer_ref_Start();
279
280     char msg[64];
281     sprintf(msg, sizeof(msg), "OK: ref_period=%u\r\n", (unsigned)period);
282     PC_PutString(msg);
283 }
284
285 /* ===== main ===== */
286 int main(void)
287 {
288     flag = '0';
289
290     CyGlobalIntEnable;
291
292     mat_zero_volatile(&X, 2, 1);
293     /* HW init */
294     Opa_dac_Start();
295     Opa_stage1_Start();
296     Opa_vdda_2_Start();
297     Opa_stage2_Start();
298     VADC_X1_Start();
299     VADC_X2_Start();
300     VDAC8_Start();
301     VDAC8_ref_Start();
302
303     /* UART PC */
304     PC_Start();
305     PC_PutString("\r\nReady. Commands:\r\n");
306     PC_PutString("  ref_max:<float 0..4.08>\r\n");
307     PC_PutString("  ref_min:<float 0..4.08>\r\n");
308     PC_PutString("  ref_period:<uint16 0..65535>\r\n");
309     PC_PutString("  mode:<open|closed|1|0>\r\n");
310     PC_PutString("  ref_status\r\n");
311
312     /* Timer / ISR de muestra */
313     muestra_disponible_StartEx(adquirirMuestra);
314     muestra_disponible_Enable();
315     timer_ref_Start();
316
317     for (;;)
318     {
319         /* Procesar UART sin bloquear */
320         pc_process_rx();
321
322         /* Procesar muestra si disponible */
323         if (flag == '1') {
324             flag = '0';
325             actualizarEsfuerzo();           /* respeta el modo */
326             muestra_disponible_Enable();   /* re-habilitar ISR */
327         }
328     }
329 }
330 }
```

Listing 1. main.c: bucle principal, adquisición y lógica de control.

```
1 #include "mat.h"
2
3
4 void mat_zero_volatile(volatile Mat *M, int r, int c) {
5     M->filas = r; M->columnas = c;
6     for (int i = 0; i < r; i++)
7         for (int j = 0; j < c; j++)
8             M->d[i][j] = 0.0;
9 }
10
11
12 // ===== Implementaciones =====
13 void mat_zero(Mat *M, int r, int c) {
14     M->filas = r; M->columnas = c;
15     for (int i = 0; i < r; i++)
16         for (int j = 0; j < c; j++)
17             M->d[i][j] = 0.0;
18 }
19
20 void mat_copy(Mat *dst, const Mat *src) {
21     dst->filas = src->filas; dst->columnas = src->columnas;
22     for (int i = 0; i < src->filas; i++)
23         for (int j = 0; j < src->columnas; j++)
24             dst->d[i][j] = src->d[i][j];
25 }
26
27
28 void mat_copy_volatile(Mat *dst, volatile Mat *src) {
29     dst->filas = src->filas; dst->columnas = src->columnas;
30     for (int i = 0; i < src->filas; i++)
31         for (int j = 0; j < src->columnas; j++)
32             dst->d[i][j] = src->d[i][j];
33 }
34
35 void mat_add(const Mat *A, const Mat *B, Mat *C) {
36     C->filas = A->filas; C->columnas = A->columnas;
37     for (int i = 0; i < A->filas; i++)
38         for (int j = 0; j < A->columnas; j++)
39             C->d[i][j] = A->d[i][j] + B->d[i][j];
40 }
41
42 void mat_sut(const Mat *A, const Mat *B, Mat *C) {
43     C->filas = A->filas; C->columnas = A->columnas;
44     for (int i = 0; i < A->filas; i++)
45         for (int j = 0; j < A->columnas; j++)
46             C->d[i][j] = A->d[i][j] - B->d[i][j];
47 }
48
49 void mat_mul(const Mat *A, const Mat *B, Mat *C) {
50     C->filas = A->filas; C->columnas = B->columnas;
51     for (int i = 0; i < A->filas; i++) {
52         for (int j = 0; j < B->columnas; j++) {
53             double acc = 0.0;
54             for (int k = 0; k < A->columnas; k++)
55                 acc += A->d[i][k] * B->d[k][j];
56             C->d[i][j] = acc;
57         }
58     }
59 }
60
61 void ss_step(const Mat *A, const Mat *B, const Mat *C, const Mat *D,
62             const Mat *xk, const Mat *uk, Mat *xk1, Mat *yk)
63 {
```

```

64 Mat Ax, Bu, Cx, Du;
65 mat_mul(A, xk, &Ax);
66 mat_mul(B, uk, &Bu);
67 mat_add(&Ax, &Bu, xk1);
68
69 mat_mul(C, xk, &Cx);
70 mat_mul(D, uk, &Du);
71 mat_add(&Cx, &Du, yk);
72 }

```

Listing 2. mat.c: operaciones matriciales usadas por el controlador digital.

```

1 #ifndef MAT_H
2 #define MAT_H
3
4 #define MAX 10
5
6 // ===== Estructura de Matriz =====
7 typedef struct {
8     int filas;
9     int columnas;
10    double d[MAX][MAX];
11 } Mat;
12
13 // ===== Prototipos =====
14 void mat_zero_volatile(volatile Mat *M, int r, int c);
15 void mat_zero(Mat *M, int r, int c);
16 void mat_copy(Mat *dst, const Mat *src);
17 void mat_copy_volatile(Mat *dst, volatile Mat *src);
18 void mat_add(const Mat *A, const Mat *B, Mat *C);
19 void mat_sut(const Mat *A, const Mat *B, Mat *C);
20 void mat_mul(const Mat *A, const Mat *B, Mat *C);
21 void ss_step(const Mat *A, const Mat *B, const Mat *C, const Mat *D,
22              const Mat *xk, const Mat *uk, Mat *xk1, Mat *yk);
23
24 #endif // MAT_H

```

Listing 3. mat.h: estructuras y prototipos de funciones.

B. Código en Matlab

```

1 close all
2 clear all
3 clc;
4 % % modelo
5 % load('../modelo.mat');Gc = G;
6 % [F,G,H,J] = tf2ss(Gc.Numerator,Gc.Denominator); sysC = ss(F,G,H,J);
7 % fn = 2*abs(min(zpk(Gc).P{1}))/pi;
8 % Tn = 1/fn;
9
10 % === Parametros fisicos ===
11 % C1 = 103.07e-9; C2 = 211.1e-9;
12 % R1 = 14.878e3; R2 = 14.760e3;
13 % R3 = 80.55e3; R4 = 81.09e3;
14 C2 = 103.07e-9; C1 = 211.1e-9;
15 R3 = 14.878e3; R4 = 14.760e3;
16 R1 = 80.55e3; R2 = 81.09e3;
17
18 tau1 = R2*C1; k1 = -R2/R1;
19 tau2 = R4*C2; k2 = -R4/R3;
20 %tau2 = 1/376.4;
21 %tau1 = 1/114.2;
22 F = [ -1/tau1, 0;
23       k2/tau2, -1/tau2 ];
25 G = [ k1/tau1; 0 ];
26 H = [0 1]; % <- justo lo que querías

```

```

27 J = 0;
28
29 sysC = ss(F,G,H,J);      % modelo "práctico" coherente
30 Gc = tf(sysC);           % si querés compararlo con el empírico
31
32 zpk(Gc)
33
34
35
36 fn = max(abs(zpk(Gc).P{1}))/pi;
37 Tn = 1/fn;
38
39
40 %% Parametros
41 Ts = [Tn/2,Tn/1.5]; %[1e-3,1e-3];
42 wn_obj = 4*abs(max(zpk(Gc).P{1}));
43 zita_obj = 0.7;
44 poloObj = @(zita,wn,Ts) exp(Ts*wn*(-zita+1j*sqrt(1-zita^2)));
45 p1=[poloObj(zita_obj,wn_obj,Ts(1));conj(poloObj(zita_obj,wn_obj,Ts(1)))] ;
46 p2 = [0.5+1j*0.5;0.5-1j*0.5];
47 polos = cell(2);
48 polos = {p1,p2};
49 %% Calculo
50
51
52 %step(sysC)
53 %save('../modelosSS.mat','sysC');
54 sysD = cell(2);
55 sysD = {c2d(sysC,Ts(1)),c2d(sysC,Ts(2))};
56 K = cell(length(pолос));
57 K0 = cell(length(pолос));
58 Kref = cell(length(pолос));
59 sysCL = cell(length(pолос));
60
61 addpath('..\');
62 for i = 1:length(полос)
63     [A,B,C,D] = ssdata(sysD{i});
64     K{i} = acker(A,B,полос{i});
65     Ac = A - B*K{i};
66
67     sysCL{i} = ss(Ac, B, C, D, sysD{i}.Ts);
68     [~,~,K0{i}] = refi(Ac,B,C,K{i});
69     Kref{i} = 1/dcgain(sysCL{i});
70 end
71
72
73
74 %%
75 A = [0.4,0.3];
76 r = cell(2);
77 r = { A(1)/2.*[-ones(1,50), ones(1,50)], ...
78       A(2)/2.*[-ones(1,100), ones(1,100)] };
79 VDDA2=2.5;
80 for i = 1:length(sysCL)
81     sysi = sysCL{i};
82
83     % === REFERENCIA de esta iteración, como columna ===
84     ri = r{i}(:);
85
86     % === Simulación ===
87     [X, Y, U] = ss_sym_digital(sysi, ri, K{i}, K0{i}, [0;0],0);
88
89
90
91     % === Tiempo consistente con la referencia usada ===
92     N = numel(ri);
93     t = (0:N-1)' * sysi.Ts;

```

```

94 n = size(X,2);
95
96 % ----- Figura y paneles -----
97 fig = figure('Name', sprintf('CL # %d -- señales + polos/ceros', i));
98 left = uipanel(fig,'Position',[0.05 0.08 0.58 0.87]);
99 rightAx = axes(fig,'Position',[0.68 0.10 0.28 0.82]);
100
101 % ----- Columna izquierda -----
102 tl = tiledlayout(left, n+2, 1, 'TileSpacing','compact','Padding','compact');
103
104 % y & r
105 ax = nexttile(tl); hold(ax,'on');
106 stairs(ax, t, VDDA2+Y(:, ), 'LineWidth', 1.6); % y como vector
107 stairs(ax, t, VDDA2 + ri, '--', 'LineWidth', 1.2); % r alineada a t
108 grid(ax,'on'); grid(ax,'minor'); ylabel(ax,'y, r');
109 legend(ax, {'y', 'r'}, 'Location','best');
110 title(ax, sprintf('CL # %d -- Salida y referencia', i));
111
112 % estados
113 for k = 1:n
114     axk = nexttile(tl);
115     stairs(axk, t, VDDA2+X(:,k), 'LineWidth', 1.4);
116     grid(axk,'on'); grid(axk,'minor'); ylabel(axk, sprintf('x_%d',k));
117     if k==1, title(axk, 'Estados'); end
118 end
119
120 % u
121 axu = nexttile(tl);
122 stairs(axu, t, VDDA2+U(:, ), 'LineWidth', 1.3);
123 grid(axu,'on'); grid(axu,'minor'); xlabel(axu,'Tiempo [s]');
124 title(axu,'Esfuerzo de control');
125
126 % ----- Columna derecha: polos y ceros -----
127 axes(rightAx); %#ok<LAXES>
128 cla(rightAx);
129 try
130     pzplot(sysi); zgrid;
131     title(sprintf('Polos y ceros (fs=%4g Hz)', 1/sysi.Ts));
132 catch
133     [Z,P,~] = zpkdata(sysi,'v'); hold(rightAx,'on'); grid(rightAx,'on'); axis(rightAx, 'equal');
134     plot(real(P), imag(P), 'x', 'LineWidth', 1.6, 'Parent', rightAx);
135     plot(real(Z), imag(Z), 'o', 'LineWidth', 1.6, 'Parent', rightAx);
136     if sysi.Ts>0
137         th = linspace(0,2*pi,400);
138         plot(cos(th), sin(th), '--', 'Parent', rightAx);
139         xlabel(rightAx,'Re(z)'); ylabel(rightAx,'Im(z)');
140     else
141         xline(rightAx,0,'--'); xlabel(rightAx,'Re(s)'); ylabel(rightAx,'Im(s)');
142     end
143     legend(rightAx,{'Polos','Ceros','Círc. unidad'},'Location','best');
144     title(rightAx, sprintf('Polos/Ceros (manual) -- fs=%4g Hz', 1/sysi.Ts));
145 end
146 end
147
148 % % === COMPARACIÓN CON RESULTADOS EXPERIMENTALES ===
149 exp_files = {'./Exp1.csv', './Exp2.csv'};
150 Ts_exp = 199.99999495E-6;
151 VDDA2 = 2.5; % para coherencia con simulación
152
153 % Tabla vacía robusta
154 varNames = {'Caso','Ts_sim','Ts_exp','RMSE_y','RMSE_u','MeanErr_y','MeanErr_u'};
155 varTypes = repmat({'double'}, 1, numel(varNames));
156 comparacion = table('Size',[0 numel(varNames)], ...
157     'VariableTypes',varTypes, 'VariableNames',varNames);
158
```

```

159 for i = 1:length(exp_files)
160   fprintf('==> Caso %d ==\n', i);
161
162   % --- Cargar CSV (sin depender de nombres de columnas) ---
163   % Si tus CSV tienen cabecera, readmatrix igual la ignora y traga los números.
164   M = readmatrix(exp_files{i});
165
166   % Columnas: E=5 (U), K=11 (X1), Q=17 (X2=Y), W=23 (ref)
167   Uexp = M(:,5);
168   X1exp = M(:,11);           %#ok<NASGU> % lo cargas por si querés guardarlo
169   X2exp = M(:,17);           % salida/estado 2
170   Rexp = M(:,23);
171
172   % Limpiar NaN de final si los hay
173   good = all(~isnan([Uexp, X2exp, Rexp]), 2);
174   Uexp = Uexp(good);
175   X1exp = X1exp(good);
176   X2exp = X2exp(good);
177   Rexp = Rexp(good);
178   Uexp = Uexp - mean(Uexp, 'omitnan');
179   X1exp = X1exp - mean(X1exp, 'omitnan');
180   X2exp = X2exp - mean(X2exp, 'omitnan');
181   Rexp = Rexp - mean(Rexp, 'omitnan');
182   % --- Tiempo experimental (grilla original del osciloscopio) ---
183   Nexp = numel(Uexp);
184   t_exp = (0:Nexp-1)' * Ts_exp;
185
186   % --- Grilla de simulación (impuesta por el modelo) ---
187   sysi = sysCL{i};
188   Tfin = t_exp(end);
189   Ns_sim = floor(Tfin / sysi.Ts) + 1;
190   t_sim = (0:Ns_sim-1)' * sysi.Ts;
191
192   % --- Referencia para el modelo en grilla t_sim ---
193   % Ya centrada: arriba hiciste Rexp = Rexp - mean(Rexp)
194   r0 = Rexp; % ya sin DC
195   r_sim = interp1(t_exp(:,1), r0(:,1), t_sim(:,1), 'previous', 'extrap');
196
197   % --- Simulación con la MISMA referencia (a Ts = sysi.Ts) ---
198   [Xsim, Ysim, Usim] = ss_sym_digital(sysi, r_sim, K{i}, K0{i}, [0;0], 0);
199
200   % === Normalizar formas y longitudes ===
201   t_sim = t_sim(:,1);
202   Xsim = Xsim(:,1,:);      % Nx2
203   Ysim = Ysim(:,1,:);      % Nx1
204   Usim = Usim(:,1,:);      % Nx1
205   Rsim = r_sim(:,1,:);     % <- DEFINIR Rsim AQUÍ (misma longitud que t_sim)
206
207   % Asegurar longitudes consistentes (recorte al mínimo común)
208   Lsim = min([numel(t_sim), size(Xsim,1), numel(Ysim), numel(Usim), numel(Rsim)]);
209   t_sim = t_sim(1:Lsim);
210   Xsim = Xsim(1:Lsim,:,:);
211   Ysim = Ysim(1:Lsim,:);
212   Usim = Usim(1:Lsim,:);
213   Rsim = Rsim(1:Lsim);
214
215   % --- Re-muestrear SIMULADAS a la grilla experimental t_exp ---
216   % ZOH: 'previous' para no inventar energía
217   X1sim_exp = interp1(t_sim, Xsim(:,1), t_exp, 'previous', 'extrap');
218   Ysim_exp = interp1(t_sim, Ysim, t_exp, 'previous', 'extrap');
219   Usim_exp = interp1(t_sim, Usim, t_exp, 'previous', 'extrap');
220   Rsim_exp = interp1(t_sim, Rsim, t_exp, 'previous', 'extrap');
221
222
223   % --- Alinear longitudes por seguridad (todo sobre t_exp) ---
224   L = min([length(t_exp), length(X1exp), length(X2exp), length(Uexp), ...

```

```

225 length(X1sim_exp), length(Ysim_exp), length(Usim_exp), length(Rsim_exp), length(
226 Rexp));
227 t_cmp = t_exp(1:L);
228 X1exp_cmp = X1exp(1:L); Yexp_cmp = X2exp(1:L); Uexp_cmp = Uexp(1:L); Rexp_cmp =
229 Rexp(1:L);
230 X1sim_cmp = X1sim_exp(1:L); Ysim_cmp = Ysim_exp(1:L); Usim_cmp = Usim_exp(1:L); Rsim_cmp
231 = Rsim_exp(1:L);
232
233 % ----- ERRORES (vectores) -----
234 % Absolutos
235 err_x1_abs = X1exp_cmp - X1sim_cmp;
236 err_y_abs = Yexp_cmp - Ysim_cmp;
237 err_u_abs = Uexp_cmp - Usim_cmp;
238
239 % Porcentuales (normalizamos por max/exp/ para no explotar cerca de 0)
240 den_x1 = max(abs(X1exp_cmp)); if den_x1 < 1e-9, den_x1 = 1e-9; end
241 den_y = max(abs(Yexp_cmp)); if den_y < 1e-9, den_y = 1e-9; end
242 den_u = max(abs(Uexp_cmp)); if den_u < 1e-9, den_u = 1e-9; end
243
244 err_x1_pct = 100 * err_x1_abs / den_x1;
245 err_y_pct = 100 * err_y_abs / den_y;
246 err_u_pct = 100 * err_u_abs / den_u;
247
248 % Máximos
249 err_x1_abs_max = max(abs(err_x1_abs));
250 err_y_abs_max = max(abs(err_y_abs));
251 err_u_abs_max = max(abs(err_u_abs));
252
253 err_x1_pct_max = max(abs(err_x1_pct));
254 err_y_pct_max = max(abs(err_y_pct));
255 err_u_pct_max = max(abs(err_u_pct));
256
257 % ===== RMSE (abs y %) =====
258 RMSE_x1_abs = sqrt(mean(err_x1_abs.^2));
259 RMSE_y_abs = sqrt(mean(err_y_abs.^2));
260 RMSE_u_abs = sqrt(mean(err_u_abs.^2));
261
262 RMSE_x1_pct = sqrt(mean(err_x1_pct.^2));
263 RMSE_y_pct = sqrt(mean(err_y_pct.^2));
264 RMSE_u_pct = sqrt(mean(err_u_pct.^2));
265
266 % ===== Tabla 3x4 (filas: X1,X2,U | cols: RMSE_abs, RMSE_pct, ErrMax_abs, ErrMax_pct)
267 =====
268 MetricsNames = {'RMSE_abs','RMSE_pct','ErrMax_abs','ErrMax_pct'};
269 ResultCase = table( ...
270 [RMSE_x1_abs; RMSE_y_abs; RMSE_u_abs], ...
271 [RMSE_x1_pct; RMSE_y_pct; RMSE_u_pct], ...
272 [err_x1_abs_max; err_y_abs_max; err_u_abs_max], ...
273 [err_x1_pct_max; err_y_pct_max; err_u_pct_max], ...
274 'VariableNames', MetricsNames, ...
275 'RowNames', {'X1','X2','U'} );
276
277 % Guardamos en struct por si querés usar luego:
278 resultados_por_caso(i).tabla = ResultCase; %#ok<AGROW>
279 resultados_por_caso(i).t = t_cmp;
280 resultados_por_caso(i).X1exp_cmp = X1exp_cmp; resultados_por_caso(i).X1sim_cmp =
281 X1sim_cmp;
282 resultados_por_caso(i).Yexp_cmp = Yexp_cmp; resultados_por_caso(i).Ysim_cmp = Ysim_cmp;
283 resultados_por_caso(i).Uexp_cmp = Uexp_cmp; resultados_por_caso(i).Usim_cmp = Usim_cmp;
284 resultados_por_caso(i).Rexp_cmp = Rexp_cmp; resultados_por_caso(i).Rsim_cmp = Rsim_cmp;
285
286 % (opcional) exportar la tabla del caso i a CSV con nombres de fila:
287 writetable(ResultCase, sprintf('./Comparacion_Metricas_Caso%d.csv', i), 'WriteRowNames',
288 true);

```

```

283 disp(ResultCase);
284
285 % ----- FIGURA: 3 filas x 2 columnas (sobre t_cmp=t_exp recortado)
286 -----
287 figure('Name', sprintf('Caso %d -- Señales y errores (grilla experimental)', i), 'Color',
288 'w');
289 tl = tiledlayout(3,2,'TileSpacing','compact','Padding','compact');
290
291 % --- Fila 1: X1 ---
292 nexttile; hold on;
293 plot(t_cmp, Xlexp_cmp, 'k', 'LineWidth', 1.3);
294 plot(t_cmp, Xlsim_cmp, '--', 'LineWidth', 1.2);
295 legend('X1_{exp}', 'X1_{sim}', 'Location', 'best'); grid on; ylabel('X1 [V]');
296 title(sprintf('X1 (exp vs sim) -- RMSE=%3e, RMSE%%=%2f%%', RMSE_x1_abs, RMSE_x1_pct));
297
298 nexttile;
299 plot(t_cmp, err_x1_abs, 'LineWidth', 1); grid on; ylabel('e_{X1} [V]');
300 title(sprintf('Error X1 -- max|e|=%.3e, max|e|%%=%2f%%', err_x1_abs_max, err_x1_pct_max));
301
302 % --- Fila 2: X2 = Y (con referencia) ---
303 nexttile; hold on;
304 plot(t_cmp, Yexp_cmp, 'k', 'LineWidth', 1.3);
305 plot(t_cmp, Ysim_cmp, '--', 'LineWidth', 1.2);
306 plot(t_cmp, Rexp_cmp, ':', 'LineWidth', 1.0);
307 legend('Y_{exp}', 'Y_{sim}', 'r', 'Location', 'best'); grid on; ylabel('Y [V]');
308 title(sprintf('X2/Y (exp vs sim) -- RMSE=%3e, RMSE%%=%2f%%', RMSE_y_abs, RMSE_y_pct));
309
310 nexttile;
311 plot(t_cmp, err_y_abs, 'LineWidth', 1); grid on; ylabel('e_{Y} [V]');
312 title(sprintf('Error Y -- max|e|=%.3e, max|e|%%=%2f%%', err_y_abs_max, err_y_pct_max));
313
314 % --- Fila 3: U ---
315 nexttile; hold on;
316 plot(t_cmp, Uexp_cmp, 'k', 'LineWidth', 1.3);
317 plot(t_cmp, Usim_cmp, '--', 'LineWidth', 1.2);
318 legend('U_{exp}', 'U_{sim}', 'Location', 'best'); grid on; xlabel('Tiempo [s]');
319 title(sprintf('U (exp vs sim) -- RMSE=%3e, RMSE%%=%2f%%', RMSE_u_abs, RMSE_u_pct));
320
321 nexttile;
322 plot(t_cmp, err_u_abs, 'LineWidth', 1); grid on; xlabel('Tiempo [s]');
323 title(sprintf('Error U -- max|e|=%.3e, max|e|%%=%2f%%', err_u_abs_max, err_u_pct_max));
324
325 end
326
327 writetable(comparacion, './Comparacion_Resultados.csv');

```

Listing 4. HojaDeCalculos.m: cálculo de parámetros y generación de figuras.

```

1 %% ===== Cargar datos medidas =====
2 data = readmatrix('mediciones.csv');
3
4 % u = ENTRADA medida; y = SALIDA medida
5 y = data(:, 11); % ajustá si cambia columna
6 u = data(:, 17);
7
8 Ts = 0.00009999997474; % tiempo de muestreo ( $\approx 100 \mu s$ )
9 data_id = iddata(y, u, Ts);
10 sysC = ssest(data_id, 2);
11 sysC = ss(sysC); % A, B, C, D numéricos; sin K ni NoiseVariance
12 step(sysC)

```

Listing 5. modeladoSS.m: modelado en espacio de estados y discretización.

```

1 close all

```

```

2 clear all
3 % Verificar que las FT parciales salen exactas:
4 s = tf('s');
5 % === Parámetros fisicos ===
6 C1 = 103.07e-9; C2 = 211.1e-9;
7 R1 = 14.878e3; R2 = 14.760e3;
8 R3 = 80.55e3; R4 = 81.09e3;
9 tau1 = R2*C1; k1 = -R2/R1;
10 tau2 = R4*C2; k2 = -R4/R3;
11 F = [ -1/tau1, 0;
12     k2/tau2, -1/tau2 ];
13 G = [ k1/tau1; 0 ];
14 H = [0 1]; % <- justo lo que querías
15 J = 0;
16
17 X1_R = (-R2/R1) / (tau1*s + 1);
18 X2_X1 = (-R4/R3) / (tau2*s + 1);
19
20 % Desde el ss:
21 [num1,den1] = tfdata(ss(F,[k1/tau1;0],[1 0],0),'v'); % X1/R
22 X1_R_ss = tf(num1,den1);
23
24 [num2,den2] = tfdata(ss([-1/tau2], [k2/tau2], 1, 0),'v'); % X2/X1
25 X2_X1_ss = tf(num2,den2);
26
27 % Comparar (deberían ser iguales o numéricamente muy cercanos):
28 bode(X1_R, X1_R_ss); legend('X1/R (esperado)', 'X1/R (ss)');
29 figure; bode(X2_X1, X2_X1_ss); legend('X2/X1 (esperado)', 'X2/X1 (ss)');
30
31
32
33 X2_R = X2_X1 * X1_R; % cascada completa (verificación)
34
35 % Espacio de estados equivalente (x = [x1; x2], y = x2)
36 F = [ -1/tau1, 0;
37     k2/tau2, -1/tau2 ];
38 G = [ k1/tau1; 0 ];
39 H = [0 1];
40 J = 0;
41 sysC = ss(F,G,H,J);
42
43 %% === Excitación: escalón unitario en R ===
44 tf_end = 6*max(tau1,tau2); % horizonte suficiente
45 t = linspace(0, tf_end, 1500).';
46 r = ones(size(t)); % escalón unitario
47
48 %% === Respuesta por espacio de estados (x1(t), x2(t)=y(t)) ===
49 [y_ss, t_ss, x_ss] = lsim(sysC, r, t); % x_ss(:,1)=x1, x_ss(:,2)=x2
50
51 %% === Respuesta por T.F. en cascada como pediste ===
52 % 1) X1(t) respecto a R(t)
53 [x1_tf, t1] = step(X1_R, t); % como R es escalón unitario, step sirve
54 % 2) Alimentar X1(t) como entrada de la segunda etapa para obtener X2(t)
55 x2_tf = lsim(X2_X1, x1_tf, t1);
56
57 % (opcional) chequeo directo de X2/R:
58 [y_tfdir, ~] = step(X2_R, t); % debería coincidir con x2_tf
59
60 %% === Gráficas comparativas ===
61 figure('Name','Estados vs TF en cascada','Color','w');
62
63 % x1
64 subplot(3,1,1); hold on; grid on;
65 plot(t_ss, x_ss(:,1), 'LineWidth', 1.6);
66 plot(t1, x1_tf, '--', 'LineWidth', 1.4);
67 ylabel('x_1(t)');

```

```

69 title('x_1: Estado vs. TF X1/R');
70 legend('x_1 (estado-espacio)', 'x_1 (TF X1/R)', 'Location', 'best');
71
72 % x2
73 subplot(3,1,2); hold on; grid on;
74 plot(t_ss, x_ss(:,2), 'LineWidth', 1.6);
75 plot(t1, x2_tf, '--', 'LineWidth', 1.4);
76 ylabel('x_2(t)');
77 title('x_2: Estado vs. TF en cascada (X1/R → X2/X1)');
78 legend('x_2 (estado-espacio)', 'x_2 (TF cascada)', 'Location', 'best');
79
80 % y = x2, y verificación X2/R directo
81 subplot(3,1,3); hold on; grid on;
82 plot(t_ss, y_ss, 'LineWidth', 1.6);
83 plot(t, y_tfd, '--', 'LineWidth', 1.4);
84 xlabel('Tiempo [s]'); ylabel('y(t)=x_2(t)');
85 title('Salida: Estado vs. TF directa (X2/R)');
86 legend('y (estado-espacio)', 'y (TF X2/R directa)', 'Location', 'best');
87
88 %% === Sanity checks cortos en consola ===
89 fprintf('Ganancia DC esperada X1/R = k1 = %.4f\n', k1);
90 fprintf('Ganancia DC esperada X2/X1 = k2 = %.4f\n', k2);
91 fprintf('Ganancia DC esperada X2/R = k1*k2 = %.4f\n', k1*k2);

```

Listing 6. sanityCheck.m: chequeos de consistencia.

```

1 function [X, Y, U] = ss_sym_digital(sys, ref, K, K0, x0, sigma)
2 % Discreto, simple:
3 % u(k) = K0*ref(k) - K*x(k)
4 % x+ = A*x + B*u
5 % y(k) = C*x + D*u (convención típica)
6 [A,B,C,D] = ssdata(sys);
7 n = size(A,1);
8 N = numel(ref);
9
10 if nargin < 5 || isempty(x0), x0 = zeros(n,1); end
11
12 X = zeros(n,N);
13 U = zeros(1,N);
14 Y = zeros(1,N);
15 ruido = sigma*randn(N);
16 X(:,1) = x0;
17 for k = 1:N-1
18     U(k) = K0*ref(k) - K*X(:,k)+ruido(k);
19     X(:,k+1) = A*X(:,k) + B*U(k);
20     Y(k) = C*X(:,k) + D*U(k);
21 end
22 % último sample
23 U(N) = K0*ref(N) - K*X(:,N);
24 Y(N) = C*X(:,N) + D*U(N);
25
26 % para plot cómodo (Nxn)
27 X = X.'; Y = Y(:); U = U(:);
28 end

```

Listing 7. ss_sym_digital.m: simulación discreta con realimentación de estados.